

- [2] Лазуткин В.Ф. Выпуклый биллиард и собственные функции оператора Лапласа. Л.: ЛГУ, 1981. 196 с.
- [3] Корнейчик В.В. Геометро-волновой метод расчета волноводов и резонаторов. Автореф. канд. дис. Минск, 1983. 14 с.

Поступило в Редакцию  
20 июля 1987 г.  
В окончательной редакции  
27 ноября 1987 г.

Письма в ЖТФ, том 14, вып. 4

26 февраля 1988 г.

## КОЭФФИЦИЕНТ ТРЕНИЯ $Cu_{2-x}Se$ ВБЛИЗИ СУПЕРИОННОГО ПЕРЕХОДА

М.А. Коржев, Л.М. Сергеева

Суперионный селенид меди  $Cu_{2-x}Se$  (температура суперионного фазового перехода  $T_c = 291-413$  К [1]) используется для изготовления р-ветви среднетемпературных термоэлементов [2], в том числе с прижимными коммутирующими контактами (никель, нержавеющая сталь), механическая прочность которых определяется силами трения:

$$F = k_r \rho,$$

где  $k_r$  - коэффициент трения,  $\rho$  - сжимающая сила [3].

В настоящей работе измерен коэффициент трения скольжения  $k_r Cu_{2-x}Se$ -контртело (нержавеющая сталь 20Х13) и обнаружено уменьшение  $k_r$  на  $\sim 35\%$  при переходе сплавов  $Cu_{2-x}Se$  в суперионную фазу.

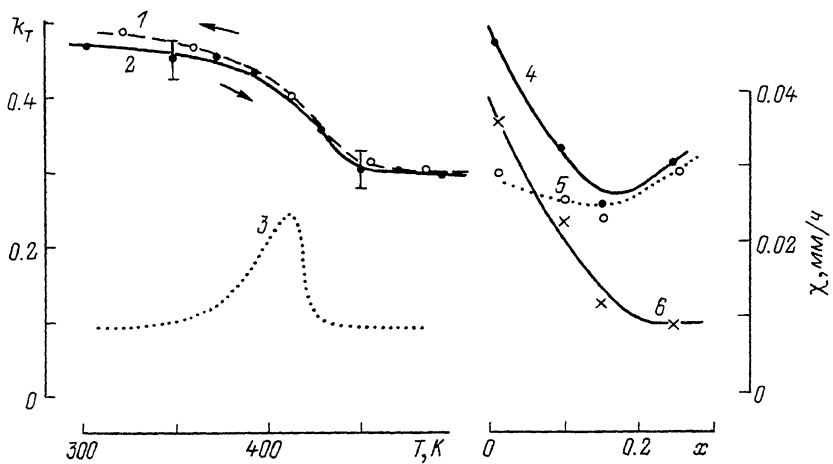
Образцы  $Cu_{2-x}Se$  ( $\varnothing 8$  мм, длиной 10 мм) с  $x = 0.01, 0.10, 0.15$  и  $0.25$  прессовали из порошков с фракцией 50-100 мкм под давлением до 1 ГПа.

Измерения  $k_r$  проводили на воздухе (влажность 40%) в интервале температур 300-490 К в режиме нагрева и охлаждения со скоростью 4 К/мин. Использовали нагрузку 0.2 кг, скорость вращения контртела (шлифованный цилиндр  $\varnothing 10$  мм) составляла 30 об/мин, линейная скорость перемещения образца относительно контртела - 1.6 см/с, точность измерений - 10%.

Среднюю температуру образца измеряли термопарой хромель-константан с точностью 1 К, износ  $x$  образца в зоне фрикционного контакта определяли с точностью 0.002 мм.

Во всех случаях наблюдали перенос материала образцов на контртело.

На рисунке показаны температурные зависимости  $k_r$  сплава  $Cu_{1.99}Se$  (1 - охлаждение, 2 - нагрев), а также концентрацион-



Температурные (1, 3 - нагрев; 2 - охлаждение) и концентрационные (4-6) зависимости коэффициента трения  $k_T$  (1, 2, 4, 5), сигнала ДТА (3) и износа материала  $\chi$  (6).  $x$ : 1-3 - 0.01;  $T$ , К: 4 - 300, 5 - 450.

ные зависимости  $k_T$  (4, 5) и износа образцов  $\chi$ , усредненного по интервалу температур 300–490 К (6).

На рисунке приведена также кривая 3 нагрева дифференциального термического анализа (ДТА) (5 К/мин) образца  $Cu_{2-x}Se$  вблизи суперионного фазового перехода  $\alpha \rightarrow \beta$  ( $T_c = 413$  К).

Из кривых 1-3 видно, что суперионный переход ведет к уменьшению величины  $k_T$  образца на  $\sim 35\%$ .

Переход  $\alpha \rightarrow \beta$  происходит также в сплавах  $Cu_{2-x}Se$  с ростом  $x$  при комнатной температуре [1], что сопровождается соответствующим уменьшением  $k_T$  (кривая 4); в суперионной  $\beta$ -фазе  $k_T = 0.25$ – $0.3$  для всех образцов (кривая 5). Некоторое увеличение  $k_T$  в образце с  $x = 0.25$  (кривые 4 и 5) может быть связано с присутствием в сплаве указанного состава включений второй фазы  $Cu_3Se_2$  [1].

Заметим, что уменьшение  $k_T$  коррелирует с уменьшением микротвердости  $H_V$  (на  $\sim 40\%$ ) и увеличением пластичности сплавов  $Cu_{2-x}Se$  при переходе в суперионную фазу [4].

Соответственно с ростом  $x$  и пластичности уменьшается износ  $\chi$  материала (кривая 6), дополнительный вклад в увеличение  $\chi$  может давать также увеличение окисляемости сплавов  $Cu_{2-x}Se$  в области малых  $x$  [3, 5].

Таким образом, суперионный фазовый переход в  $Cu_{2-x}Se$  оказывает заметное влияние на коэффициент трения  $k_T$  образец – контртело, что следует учитывать при практическом использовании материала.

Аналогичный эффект, по-видимому, может проявляться также и на других суперионных проводниках.

Выражаем глубокую благодарность Н.Н. Филипович за помощь в работе, В.Ф. Банкиной - за выращенные и предоставленные для измерений кристаллы.

## Л и т е р а т у р а

- [1] А б р и к о с о в Н.Х., Б а н к и н а В.Ф., К о р ж у е в М.А., Д е м е н с к и й Г.К., Т е п л о в О.А. - ФТТ, 1983, т. 25, № 10, с. 2911-2916.
- [2] Г о р б а ч е в В.В. Полупроводниковые соединения  $A_2^1 B^{V_j}$ . М.: Металлургия, 1980. 132 с.
- [3] К р а г е л ь с к и й И.В. Трение и износ. М.: Машиностроение, 1968. 480 с.
- [4] С и р о т а Н.Н., К о р ж у е в М.А., Л о б з о в М.А., А б р и к о с о в Н.Х., Б а н к и н а В.Ф. - ДАН СССР, 1985, т. 281, № 1, с. 75-77.
- [5] А б р и к о с о в Н.Х., К о р ж у е в М.А., Б а н к и н а В.Ф., К у з н е ц о в а И.В. - ЖТФ, 1987, т. 57, № 7, с. 1406-1409.

Институт metallurgии им. А.А.Байкова  
АН СССР, Москва

Поступило в Редакцию  
10 августа 1987 г.

Письма в ЖТФ, том 14, вып. 4

26 февраля 1988 г.

## ДЛИННОВОЛНОВЫЕ ОПТИЧЕСКИЕ КОЛЕБАНИЯ В КРИСТАЛЛАХ $LiH_{1-x}D_x$

В.Г. П л е х а н о в

Максимально возможное различие масс изотопов водорода (дейтерия и трития) при практически неизменных силовых постоянных в кристаллах  $LiH_{1-x}D_x$  (наряду с простотой кристаллической (*NaCl*-тип) структуры) давно выдвинуло эти простейшие системы с двумя  $\delta$ -электронами в разряд модельных кристаллов. Особенно это заметно при расчете динамики решетки из первых принципов. Благодаря работам по инфракрасному (ИК) поглощению [1] и отражению [2], рассеянию света [3, 4] и тепловых нейтронов [5, 6], динамика чистых кристаллов  $LiH$  ( $LiD$ ) достаточно полно исследована. Согласно результатам этих работ, спектральное распределение фононов в  $LiH$  и  $LiD$  оказывается практически одинаковым в области акустических ( $\approx 450 \text{ см}^{-1}$ ) колебаний. В области оптических колебаний частоты фононов в  $LiH$  приблизительно в  $\sqrt{2}$  больше, чем в  $LiD$  и, кроме того, в  $LiH$  имеется щель (580-610  $\text{см}^{-1}$ ) запрещенных частот между акустическими и оптичес-